



سنتر فانوالياف كازينات سديم، كيتوزان و پلي وينيل الكل به روش الکتروریسی

محسن اصغری قاجاری، یحیی مقصودلو^{*}، سیدمهدی جعفری، محمد قربانی

گروه علوم و صنایع غذایی، دانشکده صنایع غذایی، دانشگاه علوم کشاورزی و منابع طبیعی گرگان، ایران

تاریخ دریافت: ۱۳۹۸/۰۶/۲؛ تاریخ پذیرش: ۱۳۹۸/۰۷/۲۱

حکیمہ

سابقه و هدف: از الکتروریسی برای تولید نانوآلیاف با ویژگی‌های فیزیکوشیمیابی ارتقاء یافته استفاده می‌گردد. به عنوان یک فن‌آوری در حال توسعه این سامانه به دلیل مکانیسم ساده و استفاده از انواع مختلفی از پلیمرها، به عنوان قوی‌ترین روش برای صنعتی سازی در نظر گرفته می‌شود. در این پژوهش، الکتروریسی چند جزیی به منظور بهبود ویژگی مقاومت حرارتی بالکتروریسی سه پلیمر کازئینات‌سدیم، کیتوزان و پلی‌وینیل‌کلر مورد بررسی قرار گرفت.

مواد و روش‌ها: ابتدا فاکتورهای دستگاه الکتروریسمی شامل محدوده فاصله، ولتاژ، پس از انجام پیش تست‌های مختلف جهت تعیین شرایط بحرانی مناسب برای تولید نانوالیاف بررسی شد. پس از تعیین موارد ذکر شده یعنی فاصله ۱۲ سانتی‌متر، ولتاژ ۱۶ کیلوولت و شدت جریان ۰/۵ میلی‌لیتر بر ساعت نسبت‌های متفاوتی از محلول سه پلیمر کازینات‌سدیم، کیتوزان و پلی‌وینیل‌الکل براساس طرح مخلوط تهیه و الکتروریسمی انجام شد. مورفولوژی و قطر نانوالیاف توسط میکروسکوپ الکترونی روبشی مورد بررسی قرار گرفت. در ادامه با توجه به نتایج میکروسکوپ الکترونی روبشی سه گروه از نانوالیاف بر اساس تفاوت در قطر (قطر کم، متوسط و زیاد) انتخاب، و ویژگی‌های فیزیکوشیمیایی آن‌ها شامل بررسی ساختار کریستالی (پراش اشعه ایکس)، بررسی واکنش‌های مولکولی (طیف سنجی مادون قرمز تبدیل فوریه) و بررسی مقاومت به تجزیه حرارتی (آنالیز گرم‌مازننگی) مطالعه گردید.

یافته ها: نانو الیاف کازئینات سدیم / کیتوزان و پلی وینیل الکل با میانگین قطر ۱۲۱ تا ۱۹۲ نانومتر به خوبی الکترورسی شد. نانو الیاف تیمار ۶۲۲ (شامل ۶۰ درصد پلی وینیل الکل، ۲۰ درصد کیتوزان و ۲۰ درصد کازئینات سدیم)، تیمار ۸۱۱ (شامل ۸۰ درصد پلی وینیل الکل، ۱۰ درصد کیتوزان و ۱۰ درصد کازئینات سدیم) و تیمار ۷۲۱ (شامل ۷۰ درصد پلی وینیل الکل، ۲۰ درصد کیتوزان و ۱۰ درصد کازئینات سدیم) به ترتیب دارای بیشترین قطر (۱۹۲ نانومتر)، قطر متوسط (۱۷۸ نانومتر) و کمترین قطر (۱۲۱ نانومتر) بودند. در بررسی نتایج، کاهش شدت پیک مشاهده شده در الگوی پراش اشعه ایکس نانو الیاف (در مقایسه با نمونه های پلی وینیل الکل، کیتوزان و کازئینات سدیم) را می توان به کاهش شدید ساختار نیمه بلوری پلی وینیل الکل به دلیل تشکیل پیوند هیدروژنی بین پلی وینیل الکل، مولکول آب، کیتوزان و کازئینات سدیم و نیز به واسطه سازگاری فاز بین نظم و بلوری در پلیمرها به خصوص کیتوزان و کازئینات سدیم نسبت داد. همچنین نتایج طیف سنجی مادون قرمز تبدیل فوریه نشان داد، سه پلیمر پلی وینیل الکل، کیتوزان و کازئینات سدیم در نانو الیاف الکترواسپان به طور کامل پراکنده شده اند. بررسی نتایج حاصل از آنالیز گرما وزن سنجی نیز نشان داد اگرچه نمونه بدون کیتوزان (نمونه ۷۰۳) دمای شروع تخریب حرارتی بیشتری داشت، اما حضور کیتوزان باعث بهبود پایداری حرارتی و منجر به مشاهده رخدادهای حرارتی در محلوده دمایی گستردگیری شد؛ به طوری که نمونه نانو الیاف (قطر ۱۹۲ نانومتر) بیشترین مقاومت به تخریب را از خود نشان داد.

* مسئول مکاتبه: y.maghsoudlou@gau.ac.ir

نتیجه‌گیری: با توجه به نتایج اشاره شده استفاده از سه پلیمر مذکور (با نسبت بهینه (۶۲۲) در فاصله ۱۲ سانتی‌متر، ولتاژ ۱۶ کیلوولت و شدت جریان ۵/۰ میلی‌لیتر بر ساعت) امکان الکتروریسی موفق و تولید نانوالیاف با ویژگی‌های فیزیکوشیمیابی مناسب مانند مقاومت حرارتی بالا را فراهم می‌سازد. در نتیجه قابلیت بکارگیری نانوالیاف تولید شده در شرایط شدید حرارتی و همچنین با توجه به حضور سدیم کازئینات، امکان ریزپوشانی ترکیبات زیست فعال بویژه ترکیبات هیدروفوب با آن پیشنهاد می‌شود.

واژه‌های کلیدی: الکتروریسی، پلی‌وینیل‌الکل، کیتوزان، کازئینات‌سدیم، ویژگی‌های فیزیکوشیمیابی

تغییر پارامترهای دستگاهی و همچنین ویژگی‌های
حلال موجب تغییر مورفولوژی و سایر ویژگی‌های
نانوالیاف حاصل می‌گردد.

یکی از متداول‌ترین پلیمرهای مورد استفاده در تولید نانوالیاف، پلی‌وینیل‌الکل^۱ می‌باشد. این پلیمر حاصل واکنش‌های الکلی، آمینی و جذب آب پلی‌وینیل استات بوده و ترکیبی آب‌دوست و بدون اثرات سمی و سرطان‌زاوی می‌باشد که در زمینه مهندسی بافت به صورت الیاف، اسفنج و هیدروژل به کار گرفته شده است (۹). این ماده مقاومت مکانیکی و آنژیمی باليایی داشته و به واسطه دارا بودن گروه‌های هیدروکسیل در ایجاد ویسکوزیتیه مناسب و به‌ویژه قطبیت کافی برای ایجاد الیاف فاقد گویچه طی الکتروریسی ضروری است. با توجه به اهمیت استفاده از ترکیبات با درجه غذایی^۲ در محصولات غذایی، استفاده از بیopolyپلیمرها بهدلیل مزایایی چون دسترس‌پذیری بالا، عدم سمیت و داشتن الزامات محیطی و اقتصادی، در تولید و توسعه نانوالیاف اهمیت یافته است. یکی از پرکاربردترین بیopolyپلیمرهای مورد استفاده در تولید نانوالیاف کیتوزان می‌باشد که موارد متعددی از الکتروریسی ترکیب آن با پلی‌وینیل‌الکل گزارش شده است. کیتوزان در واقع آمینو پلی‌ساکارید کاتیونی بوده و بهدلیل دسترسی فراوان، چسبندگی بی‌نظیر، اثرات دارویی مناسب و

مقدمه

ارتباط بین ساختار، ویژگی‌های فیزیکوشیمیابی و حسی مواد غذایی موجب توجه به تولید سامانه‌های ساختاریافته برای بهبود ویژگی‌های فیزیکوشیمیابی، بهمنظور تولید نانوالیاف با ویژگی‌های عملکردی مناسب شده است (۱۷، ۲۴). در محصولات غذایی و دارویی از سیستم‌های ریزپوشانی متفاوت با اهداف مختلف همچون بهبود ویژگی‌های فیزیکوشیمیابی شرایط محیطی مختلف (pH، نور، اکسیژن و دما) و افزایش پایداری آن‌ها طی فرآوری یا نگهداری و همچنین توسعه یا بهبود انتقال مواد مغذی، کنترل بهتر سیستم رهایش و فراهم ساختن امکان تولید در مقیاس بالا استفاده می‌شود (۱۹). در این راستا فرآیند الکتروریسی بهدلیل ویژگی‌های منحصر به فرد نانوالیاف مانند تخلخل بالا و انعطاف‌پذیری برای ریزپوشانی ترکیبات زیست فعال و تولید محصولات عملکردی به‌طور گستره‌ای به کار گرفته می‌شود (۲۷، ۳۳). این روش بهدلیل ساده، کارآمد، انعطاف‌پذیر، اقتصادی و یک مرحله‌ای بودن و همچنین توانایی تولید ساختارهایی در مقیاس نانو با ویژگی‌های فیزیکوشیمیابی متفاوت، قابلیت ریزپوشانی بالا و رهایش کنترل شده، تحت شرایط دمایی ملایم، در سال‌های اخیر در حوزه‌های مختلف به‌ویژه صنایع غذایی بسیار مورد توجه قرار گرفته است (۲۸، ۴). در این روش سیال پلیمری در معرض یک میدان الکتریکی با ولتاژ بالا قرار داده می‌شود.

1. Polyvinyl alcohol (PVA)

2. Food grade

محسن اصغری قاجاری و همکاران

استفاده می‌شود. با توجه ویژگی‌های عملکردی کازئین، از آن به عنوان ماده دیواره به منظور افزایش پایداری ترکیباتی همچون بیکسین، کورکومین و بتاکاروتون استفاده می‌شود (۱۰، ۲۰، ۲۵، ۳۵). علاوه بر ویژگی‌های عملکردی قابل توجه، محتوای بالای اسیدهای آمینه ضروری در ساختار کازئین، توجه به استفاده از این پروتئین را در ساختار نانوالیاف افزایش می‌دهد.

با توجه به اینکه گروه آمینو در کیتوzan در شرایط اسیدی ($pK_a = 6/5$) به صورت NH_3^+ پروتونه می‌شود، این پلیمر قادر به ایجاد برهمکنش‌های الکتروستاتیک با گروه‌های آئیونی مانند عوامل pH کربوکسیلی موجود در کازئینات، در مقادیر معین $\text{pH} < 6$ (۴/۵) می‌باشد (۳). بنابراین انتظار می‌رود ساختار و ویژگی‌های فیزیکی ترکیب این دو پلیمر به شکل کمپلکس محلول، ترکیب مناسبی را برای الکتروریسی موفق فراهم آورد. بر این اساس در پژوهش حاضر، الکتروریسی محلولی حاوی سه پلیمر کیتوzan، کازئین و پلی‌وینیل‌الکل به منظور تولید نانوالیاف با مقاومت حرارتی بالا بررسی شد. در این راستا، آزمون‌های میکروسکوپ الکترونی رویشی، طیف‌سنجی مادون قرمز تبدیل فوریه، طیف‌سنجی پراش پرتو ایکس و آنالیز گرم‌وازن سنجی انجام شد.

مواد و روش‌ها

مواد اولیه: در این پژوهش از کازئینات سدیم (تایتان‌بیوتک هند)، کیتوzan (با وزن مولکولی متوسط و درجه استیله شدن ۷۵-۸۵ درصد، سیگما)، پلی‌وینیل‌الکل (با وزن مولکولی ۱۲۴۰۰۰-۸۵۰۰۰ سیگما)، استیک اسید و اتانول ۹۶ درصد مرک استفاده شد.

دیگر ویژگی‌های سودمند زیستی از جمله زیست سازگاری، زیست تخریب‌پذیری، عدم سمیت و تحریک کم سیستم ایمنی، کنترل رهایش و ایجاد اتصالات عرضی در زمینه بیوپیشکی و دارویی مورد توجه گستردۀ قرار گرفته است (۳). از جمله مطالعات صورت گرفته در زمینه تولید نانوالیاف کامپوزیت الکتروریسی کیتوzan-پلی‌وینیل‌الکل همراه با ترکیبات دیگر می‌توان به الکتروریسی کربوکسی متیل بتاسیکلولدکسترین/کیتوzan/پلی‌وینیل‌الکل اشاره نمود (۶). همچنین، تولید نانوالیاف کیتوzan-پلی‌وینیل‌الکل-پکتین به منظور استفاده در صنایع بسته‌بندی با ویژگی‌های ضد میکروبی و تولید نانوالیاف کیتوzan-سریسین^۱-پلی‌وینیل‌الکل به عنوان غشای زیست تخریب‌پذیر با ویژگی‌های ضد میکروبی مناسب از دیگر مطالعات صورت گرفته در این زمینه می‌باشد (۱۶). پروتئین‌ها از مهم‌ترین بیوپلیمرهای استفاده شده جهت تولید نانوالیاف می‌باشند. مطالعات متعددی در زمینه تولید نانوالیاف از کنسانتره پروتئینی آب‌پنیر، ایزوله پروتئینی سویا، ژلاتین و زئین در سال‌های اخیر گزارش شده است (۲۲، ۲۳، ۳۰، ۳۴). در حالی که پژوهش در زمینه قابلیت استفاده از پروتئین کازئین، تنها به یک مورد ترکیب پلی‌وینیل‌الکل-کازئین محدود می‌شود (۳۱). کازئینات سدیم با خشک‌کردن رسوب کازئینی شیر پس چرخ پس از خششی کردن تولید شده و انتقال و نگهداری آن آسان می‌باشد. این پروتئین به دلیل فعالیت سطحی بسیار خوب ناشی از حضور اسیدهای آمینه آب‌دوست و آب‌گریز به عنوان امولسیفایر و پایدارکننده در صنایع غذایی و دارویی استفاده می‌شود (۲۱). همچنین کازئین به دلیل قابلیت بالای تشکیل کمپلکس با ترکیبات زیست فعل و در نتیجه افزایش زیست دسترسی‌پذیری و پایداری آن‌ها، به عنوان حامل در محصولات مختلف غذایی و دارویی

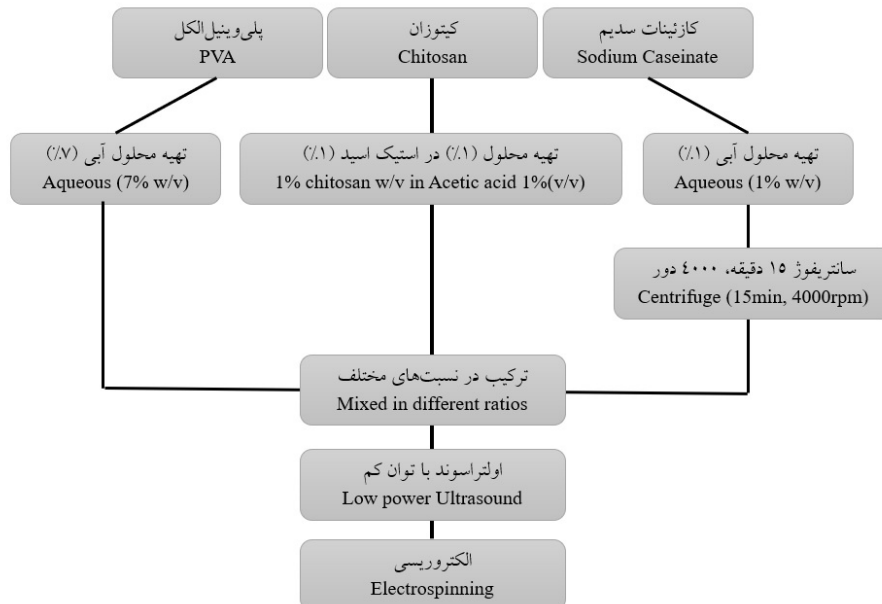
2. Scanning Electron Microscopy (SEM)

1. Sericin

با استفاده از نسبت‌های متفاوت محلول‌سازی و حلال‌های مختلف (بافر فسفات، بافر استات، بافر ایمیدازول، آب مقطر و سود) انجام شد. جهت افزایش یکنواختی، از حمام فراصوت استفاده شد (شکل ۱). پس از بررسی تصاویر حاصل از میکروسکوپ الکترونی رویشی، سه نمونه از نانوالیاف بر اساس قطر (کمترین، متوسط و بیشترین) بهمراه یک نمونه فاقد کیتوزان انتخاب و ویژگی‌های فیزیکوشیمیایی آنها با آزمون‌های طیف‌ستجی مادون قرمز تبدیل فوريه، طیف‌ستجی پراش پرتو ایکس و تعیین ویژگی‌های حرارتی با استفاده از آنالیز گرمای وزن‌ستجی مورد تجزیه و تحلیل قرار گرفت.

تعیین مورفولوژی و اندازه قطر الیاف: تصویر نانوالیاف حاصل از میکروسکوپ الکترونی رویشی توسط نرم‌افزار Digimizer 4.1.1 مورد بررسی قرار گرفت.

تهیه محلول الکتروریسی و تولید الیاف: تهیه نانوالیاف بر اساس روش گودرزی و همکاران (۲۰۱۴) با اندکی تغییرات به شرح زیر انجام شد. جهت تعیین محدوده فاصله، شدت جريان، غاظت و ولتاژ، پس از انجام پیش‌تست‌های مختلف، تصاویر میکروسکوپ الکترونی رویشی تهیه و جهت تعیین محدوده کاری دستگاه بررسی شدند. به این ترتیب، با در نظر گرفتن نتایج پیش‌تست‌ها، محلول‌های مادر از هر یک از پلیمرها به شکل محلول کازئینات‌سدیم ۱ درصد، کیتوزان ۱ درصد (در اسید استیک ۱ درصد) و پلی‌وینیل‌الکل ۷ درصد تهیه شد. دستگاه شامل پمپ سرنگی (sp6000، سیرامد، سوئیس)، منع تغذیه ولتاژ بالا و جمع کننده غلتکی چرخان بوده و الکتروریسی پس از قرار دادن سرنگ حاوی محلول درون پمپ سرنگی و تزریق با شدت جريان ۰/۵ میلی‌لیتر بر ساعت، در فاصله ۱۲ سانتی‌متر و ولتاژ ۱۶ کیلوولت



شکل ۱- تهیه محلول حاوی کازئینات سدیم / کیتوزان / پلی‌وینیل‌الکل جهت الکتروریسی
Figure 1- Preparation of PVA/ Chitosan/ Sodium Caseinate solutions for electrospinning

و با استفاده از دستگاه Philips X'Pert XRD (هلند) انجام شد. الگوهای پراش اشعه ایکس با تابش Co ka

طیف‌ستجی پراش (تفرق) اشعه ایکس (XRD): بررسی بلورینگی نانوالیاف به روش پراش پرتو ایکس

محسن اصغری قاجاری و همکاران

با نرم افزار HighScore Plus نسخه ۳,۰,۵ بررسی در ۴۰ کیلوولت و جریان ۳۰ میلی آمپر در محدوده ۳ تا ۹۰ درجه و نرخ روبش ۰/۰۲ درجه بر ثانیه تهیه و شدند.

در ۴۰ کیلوولت و جریان ۳۰ میلی آمپر در محدوده ۳ تا ۹۰ درجه و نرخ روبش ۰/۰۲ درجه بر ثانیه تهیه و

جدول ۱- متغیرهای آزمایش و محدوده تغییرات آنها (درصد) در الکتروریزی

Table 1- Ranges of experimental variables (%) in electrospinning

محدوده (درصد)	ترکیب	Compound
Range (%)		
10-30	کازئینات سدیم (A)	Sodium Caseinate (A)
0-20	کیتوزان (B)	Chitosan (B)
50-80	پلی وینیل الکل (C)	PVA (C)

محلول کازئینات سدیم (۱ درصد) و محلول پلی وینیل الکل (۷ درصد) به عنوان متغیر مستقل انتخاب و محدوده تغییرات متغیرهای مستقل، به کمک نتایج حاصل از پیش تست‌ها تعیین گردید. همچنین مجموع اختلاط پلیمرها، عددی ثابت (۱۰۰) در نظر گرفته و قطر نانوالیاف به عنوان پاسخ مورد نظر تعیین شد. با توجه به اینکه محدوده تغییرات معیارها کوچک و دامنه تغییرات آنها با هم برابر نیست، از روش دی-اپتیمال^۵ در الگوریتم طراحی مخلوط استفاده گردید (جدول ۱).

اسپکتروسکوپی مادون قرمز تبدیل فوریه^۱ (FTIR) گروههای عاملی مواد اولیه و نانوالیاف با استفاده از اسپکتروسکوپی تبدیل فوریه مادون قرمز بررسی شدند. برای تهیه طیفهای اسپکتروسکوپی، از مواد اولیه خالص و نانوالیاف حاصل از ترکیب آنها، قرص‌های مشکل از ۳۰۰ میلی‌گرم بر میل پتانسیم و ۲ میلی‌گرم نمونه تهیه شد. طیفهای جذب با استفاده از دستگاه ۵۰۰-۴۰۰۰ cm⁻¹ Bruker Tensor II با قدرت تفکیک ۴ cm⁻¹ و ۳۲ اسکن تهیه و با استفاده از نرم‌افزار OMNIC 9.2.8.6 مورد بررسی قرار گرفتند.

تعیین ویژگی‌های حرارتی با استفاده از آنالیز گرما وزن‌سنجی^۲ (TGA): پایداری حرارتی نمونه‌ها با استفاده از آنالیز گرما وزن‌سنجی و با نرخ حرارت دهی ۱۰ درجه سانتی گراد بر دقيقه در اتمسفر نیتروژن و در گستره‌ی دمایی ۳۰ تا ۷۰۰ درجه سانتی گراد بررسی شد.

تجزیه و تحلیل آماری

در این تحقیق به منظور تعیین تیمارها از روش مخلوط^۳ در نرم‌افزار دیزایت اکسپرت ۱۰^۴ استفاده شد. به این ترتیب نسبت محلول کیتوزان (۱ درصد)،

نتایج و بحث

تهیه محلول و انتخاب شرایط کاری الکتروریزی: کاهش ولتاژ و فاصله سوزن تا جمع‌کننده باعث پهن شدن^۶ و خمیدگی نانوالیاف می‌شود که علت آن به تبخیر نشدن حلال حین الکتروریزی نسبت داده می‌شود. با بررسی نتایج میکروسکوپ الکترونی روبشی، تولید نانوالیاف یکپارچه، عاری از گره و دارای تراکم مناسب پیگیری و در نهایت ولتاژ ۱۶ کیلوولت با فاصله ۱۲ سانتی‌متر تحت شدت جریان حجمی ۰/۵ میلی‌لیتر بر ساعت، به عنوان شرایط دستگاهی مناسب انتخاب شد.

5. D-Optimal

- Fourier transform infrared spectroscopy (FTIR)
- Thermogravimetric analysis (TGA)
- Mixture
- Design Expert 10

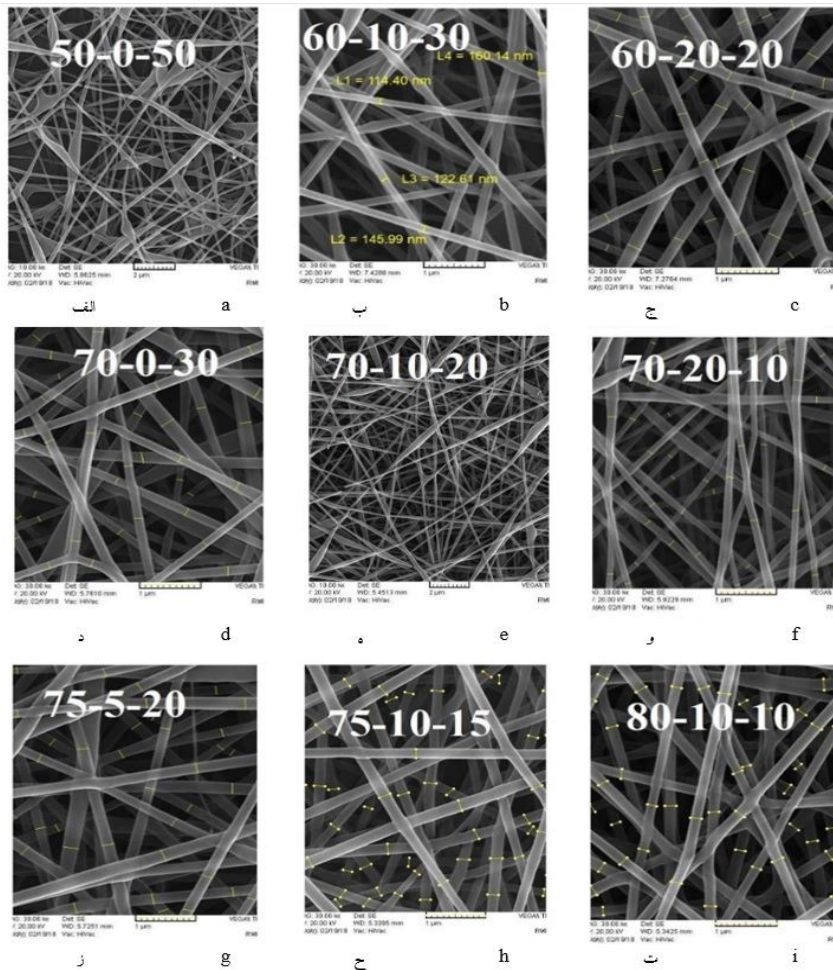
جدول ۲- نسبت پلیمرهای مخلوط شده برای تهیه محلول الکتروریسی و قطر نانوالیاف تولید شده از آنها

Table 2- The diameter of electrospun nanofibers prepared from solutions with different polymeric ratios

نمونه‌های انتخاب شده Selected samples	قطر متوسط الیاف (نانومتر) Mean diameter of fiber (nm)	نسبت پلیمرها (کازئینات‌سدیم/کیتوزان/پلی‌وینیل‌الکل) PVA/Chitosan/Sodium Caseinate Ratio	تیمار Treatment
-	غیر قابل محاسبه Unverifiable	50-0-50	1
-	159±36	60-10-30	2
بیشترین قطر The maximum diameter	192±27	60-20-20 (622)	3
انتخاب جهت مقایسه Selected as a scale	163±35	70-0-30 (703)	4
-	ناهمگونی Heterogeneity	70-10-20	5
کمترین قطر The minimum diameter	121±22	70-20-10 (721)	6
-	190±29	75-5-20	7
-	181±23	75-10-15	8
قطر متوسط The average diameter	178±17	80-10-10 (811)	9

پلی‌وینیل‌الکل مطابقت دارد. آنها نیز وابستگی قطر نانوالیاف به نسبت وزنی مخلوط پلیمرها را در محلوده‌ی ۱۳۰-۲۱۰ نانومتر نشان داده و بیان کردند افزایش مقدار بتاسیکلودکسترین- کیتوزان در ترکیب نهایی منجر به کاهش قطر نانوالیاف و کاهش سرعت رهایش اسید سالیسیلیک در محصول نهایی شد (۶). طیف سنجی پراش (تفرق) اشعه ایکس (XRD): پراش اشعه ایکس جهت بررسی چگونگی ساختار (کریستالی یا آمورف) نانوکامپوزیت‌ها استفاده می‌شود. هر یک از این صفحات کریستالی بر اساس فاصله اتمی d مربوط به آن صفحه، در یک موقعیت مشخص پراش می‌یابند. الگوی پراش اشعه ایکس در بازه $2\theta = 3-90^\circ$ درجه بررسی شد.

با توجه به جدول ۲، تیمار ۲، ۶۰-۲۰-۲۰ با بیشترین قطر، تیمار (۸۱۱) ۸۰-۱۰-۱۰ با قطر متوسط و تیمار (۷۲۱) ۷۰-۲۰-۱۰ با کمترین قطر شناسایی شدند. به علاوه، نمونه (۷۰۳) ۷۰-۰-۳۰ نیز با توجه به حذف کیتوزان از ترکیب به عنوان یک تیمار در نظر گرفته شد. در شکل ۳، تصاویر میکروسکوپی نانوالیاف حاصل از الکتروریسی ترکیب پلیمرها با نسبت‌های پیشنهادی در طرح مخلوط نشان داده شده است. همان‌طور که مشاهده می‌شود، قطر نانوالیاف تابعی از نسبت وزنی مخلوط پلیمرها می‌باشد. نتیجه بدست آمده در مطالعه حاضر با مشاهدات بازیان و همکاران (۲۰۱۳) در الکتروریسی کربوکسی متیل بتاسیکلودکسترین/ کیتوزان /



شکل ۲- ریزنگاشت میکروسکوپ الکترونی رویشی نانوالیاف در نسبت‌های مختلف اختلاط پلیمرهای کازئینات سدیم /کیتوزان/ پلی‌وینیل‌الکل: الف (۵۰-۰-۵۰)، ب (۶۰-۱۰-۳۰)، ج (۶۰-۱۰-۲۰)، د (۷۰-۰-۳۰)، ه (۷۰-۱۰-۲۰)، و (۷۰-۲۰-۲۰)، ز (۵۰-۲۰-۵۰)، ح (۷۰-۱۰-۱۵)، ت (۷۵-۵-۲۰)، و (۸۰-۱۰-۱۰)، مقیاس ۱-۲ میکرون.

Figure 2- SEM images of nanofibers fabricated by different mixing ratios of PVA/Chitosan/Sodium Caseinate a (50-0-50), b (60-10-30), c (60-20-20), d (70-0-30), e (70-10-20), f (70-20-10), g (75-5-20), h (75-10-15), and i (80-10-10), scale 1-2 μ m.

نواحی بلوری توسط بخش‌های بسیار نظم به یکدیگر متصل می‌شوند، پلیمرهای بلوری اغلب پلیمرهای نیمه بلوری نامیده می‌شوند.

با الکترونی ترکیب سه پلیمر کیتوزان، کازئینات سدیم و پلی‌وینیل‌الکل، در هر ۴ فرمول مورد استفاده، تنها یک قله شاخص دیده شد. پیک‌های شاخص مشاهده شده برای نانوالیاف شامل نانوالیاف با کد (۶۲۲) $= ۲۲/۸۰^{\circ}$ ، ۲θ، نانوالیاف با کد $= ۲۲/۹۷^{\circ}$ (۷۲۱)، نانوالیاف با کد (۸۱۱) $= ۲۲/۸۳^{\circ}$ و نانوالیاف با کد (۷۰۲) $= ۲۲/۷۳^{\circ}$ ۲θ می‌باشند. به

قله‌های شاخص پلی‌وینیل‌الکل در $2\theta = 22/95^{\circ}$ و $47/83^{\circ}$ ، قله‌های شاخص کازئینات سدیم در $2\theta = 10/68^{\circ}$ ، $2\theta = 22/69^{\circ}$ و قله شاخص کیتوزان در $2\theta = 23/78^{\circ}$ ثبت شد (۳۵). هرچه یک پیک تیزتر بوده و با شدت بیشتری پراشیده شده باشد، حوزه کریستالی بزرگ‌تر و پیک با شدت اشعه پراشیده شده کوچک‌تر دارای حوزه کریستالی کوچک‌تر خواهد بود. این پیک‌های شدید در ناحیه توخالی^۱ بی‌نظم نفوذ کردند (۱). با توجه به اینکه در تمامی پلیمرها،

1. Hollow amorphous region

سازگاری فاز بی نظم و بلوری آن نسبت داد. با توجه به نتایج FTIR، می‌توان دلیل دیگر این مشاهده و همچنین حذف یکی از پیک‌های کیتوزان در ناحیه $11^\circ = 2\theta$ را به تشکیل پیوند هیدروژنی بین پلی‌وینیل‌الکل، کیتوزان و کازئینات‌سدیم به‌دلیل حضور گروه‌های عاملی هیدروکسیل و آمین نسبت داد (۵).

این ترتیب، پیک‌های $2\theta = 10^\circ / 68^\circ = 2\theta = 47^\circ / 83^\circ = 2\theta = 23^\circ / 22^\circ = 2\theta = 23^\circ - 22^\circ = 2\theta$ کاملاً محو گردیدند و تحت تأثیر الکترورسی کاهش واضحی در شدت پیک در فاصله $23^\circ - 22^\circ = 2\theta$ مشاهده گردید. کاهش شدت پیک در نانوالیاف (جدول ۳) را می‌توان به کاهش شدید ساختار نیمه بلوری پلی‌وینیل‌الکل به‌دلیل

جدول ۳- شدت پیک پراش اشعه ایکس نانوالیاف‌ها در فاصله $23^\circ = 2\theta = 22^\circ = 2\theta$ Table 3- Peak intensity in the XRD pattern of the nanofibers at $20 = 22-23^\circ$

703	811	721	622	کازئینات سدیم Sodium Caseinate	کیتوزان Chitosan	پلی‌وینیل‌الکل PVA	ترکیب Compound
				109.01	139.22	204.92	شدت پیک Peak intensity
47.69	22.74	45.39	44.74				

پیوند بین گروه‌های عاملی در نمونه‌های نانوالیاف حاوی مخلوط پلی‌وینیل‌الکل، کیتوزان و کازئینات‌سدیم طیفسنجی تبدیل فوریه انجام گرفت. نتایج مربوط به طیفسنجی پودر پلیمرها به تهایی و نانوالیاف حاصل از ترکیب آن‌ها در شکل ۴ قابل مشاهده است.

همان‌طور که مشاهده می‌شود پیک‌های قابل توجهی پس از طیفسنجی کازئینات‌سدیم در نواحی با اعداد موجی متفاوت به ثبت رسید که بر اساس مطالعات پیشین می‌توان پیک‌های ثبت شده را نشان‌دهنده پیوندهای موجود در کازئینات‌سدیم دانست. پیک‌های شاخص کازئینات‌سدیم و محدوده موقعیت عده‌های موجی مشاهده شده براساس طیف اسپکتروسکوپی مادون قرمز عبارتند از: (۱) آمید I در محدوده عدد موجی cm^{-1} $1684 \sim 1600$ ؛ (۲) آمید II در نشان‌دهنده ارتعاش کششی C=O یا پیوند هیدروژنی متصل شده با COO و پیک جذبی شاخص در بررسی دقیق ساختمان دوم پروتئین‌ها، (۳) آمید III در محدوده عدد موجی cm^{-1} $1517 \sim 1500$ ؛ (۴) نشان‌دهنده ارتعاشات خمی گروه‌های NH و ارتعاشات کششی گروه‌های C-N و (۵) آمید III در محدوده عدد موجی cm^{-1} $1239 \sim 1200$ ؛

مقدار طیف غالب پراش پرتو X نیز، با مقدار جرم ماده در ترکیب نسبت مستقیم دارد. فراناندز و همکاران (۲۰۱۰) نانوکامپوزیت کیتوزان/نانوالیاف سلولز را با وزن‌های مولکولی مختلف از کیتوزان و سطوح وزنی مختلف از نانوسلولز با روش قالب‌گیری^۱ تهیه نمودند. نتایج پراش اشعه ایکس نشان‌دهنده افزایش شدت پیک‌های مربوط به سلولز با افزایش مقدار نانوذرات سلولز بود (۲۰۱۳). تریپاتی و همکاران (۲۰۰۹) نیز با بررسی نتایج پراش اشعه ایکس فیلم حاصل از اتصال عرضی کیتوزان/پلی‌وینیل‌الکل با استفاده از گلوتارتآلدهید نشان دادند که ترکیب پلیمرها با نسبت ۳:۱ در مقایسه با سایر نسبت‌ها بلوری‌تر است (۲۹). با وجود کاهش درصد بلورینگی تحت تأثیر الکترورسی، شکل و موقعیت نواحی کریستالی در همه نانو الیاف تقریباً مشابه با الگوی پلی‌وینیل‌الکل حفظ شده است که مشابه نتایج فراناندز و همکاران (۲۰۱۰) و تریپاتی و همکاران (۲۰۰۹) بود (۲۹، ۱۳).

طیفسنجی مادون قرمز تبدیل فوریه (FTIR): به منظور بررسی واکنش‌های مولکولی و امکان تشکیل

1. Casting

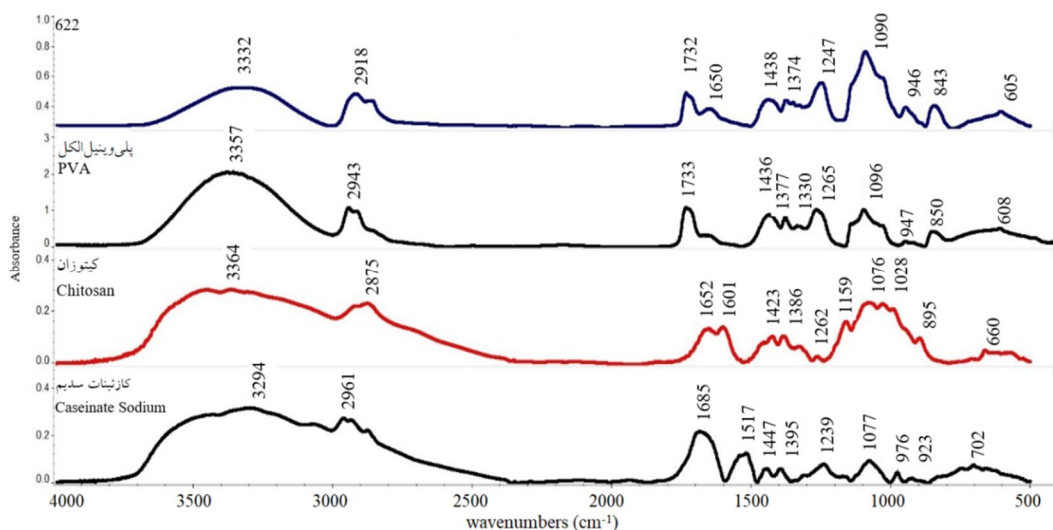
محسن اصغری قاجاری و همکاران

۱۴۳۵ و 1733 cm^{-1} به ترتیب نشانه وجود ارتعاش تکانهای CH_2 و ارتعاش کششی $\text{C}=\text{C}$ موجود در ساختار پلیوینیل الکل است که با نتایج بهاجانتری و همکاران (۲۰۰۶) مطابقت دارد (۸). همچنین پیک حاصل در ناحیه 3357 cm^{-1} را می‌توان بر اساس پژوهش خدیر و همکاران (۲۰۱۱) به تشکیل پیوندهای هیدروکسیل نسبت داد (۱۸).

نتایج طیف‌سنجی مربوط به نمونه‌های نانوالیاف حاصل از مخلوط پلیمرها بسیار شبیه یکدیگر است. این در حالی است که تغییرات جزئی نسبت به سه پلیمر مورد استفاده دیده شد. ظهور پیک در ناحیه 1563 cm^{-1} در طیف نانوالیاف حاوی کیتوزان-پلیوینیل الکل در مقایسه با طیف پلیوینیل الکل خالص (شکل ۶) نشان‌دهنده برهمکنش هیدروژنی بین گروه‌های آمین و هیدروکسیل کیتوزان با پلیوینیل الکل در نانوالیاف می‌باشد (۹). ارتعاش حاصل در نواحی $3000-2900\text{ cm}^{-1}$ نیز نشان‌دهنده تشکیل پیوند CH_2 کششی بین کیتوزان و پلیوینیل الکل است که با نتایج گانش و همکاران (۲۰۱۶) مطابقت دارد (۱۴).

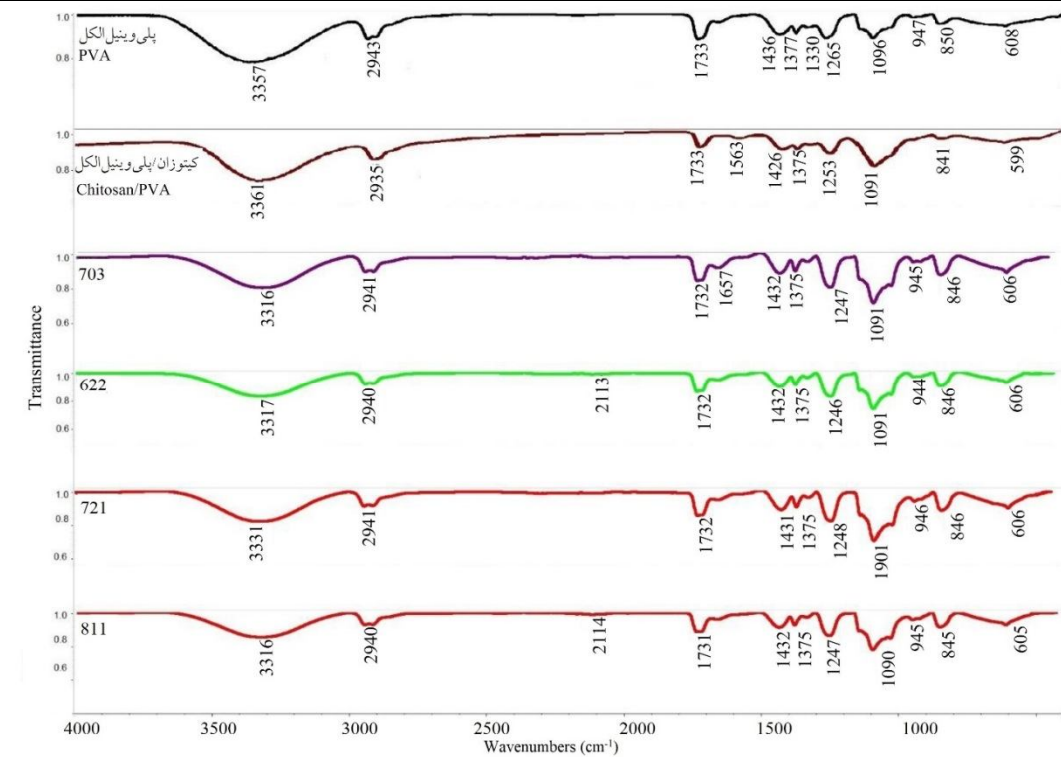
نشان‌دهنده ارتعاشات صفحه C-N و گروه‌های C-H₂ اتصالات آمید و یا ارتعاشات گروه‌های گلایسین و زنجیره جانبی پرولین می‌باشد. آمید I و آمید III به ترتیب مهم‌ترین نواحی مورد بررسی برای آنالیز اسپکتروسکوپی مادون قرمز ساختمان حلقه تصادفی و مارپیچ سه‌تایی پروتئین‌ها می‌باشدند (۲، ۷). در طیف کیتوزان نیز پیک‌های شاخص مشاهده شده در محدوده $1262, 3364, 2875, 1385, 1652\text{ cm}^{-1}$ به پیوندهای آمین I (N-H)، هیدروکربن‌های CH_2 و CH_3 ، آمید I (-CONH₂), آمید II و آمید III نسبت داده می‌شود. نتایج حاصل از برخی پژوهش‌ها در رابطه با پیوندهای آمید I، آمید II و آمید III در نواحی $1373\text{ cm}^{-1}, 1635\text{ cm}^{-1}$ و 1250 cm^{-1} در کیتوزان می‌تواند تأیید‌کننده نتایج حاضر باشد (۲، ۷).

پیک‌های بسیار زیادی پس از طیف‌سنجی پودر پلیوینیل الکل مشاهده شد که بر اساس مطالعات پیشین پیک ایجاد شده در ناحیه 1096 cm^{-1} را می‌توان به ویژگی‌های پیوندهای گروه OH پلیوینیل الکل نسبت داد. علاوه بر این پیک‌های حاصل در سایر نواحی شامل $1376\text{ cm}^{-1}, 1090\text{ cm}^{-1}, 946\text{ cm}^{-1}, 843\text{ cm}^{-1}$ و 605 cm^{-1} می‌باشد.



شکل ۴- طیف‌سنجی مادون قرمز تبدیل فوریه پلیوینیل الکل، کیتوزان، کازئینات‌سدیم و نانوالیاف با کد ۶۲۲

Figure 4- FTIR spectra of PVA, chitosan, sodium caseinate and electrospun nanofiber code no. 622 (60% PVA, 20% chitosan, and 20% sodium caseinate)



شکل ۵- طیف سنجی مادون قرمز تبدیل فوریه از نمونه های نانو الیاف: پلی وینیل الکل، کیتوzan / پلی وینیل الکل، کازئینات سدیم / پلی وینیل الکل (۷۰۳)، ۶۲۲، ۷۲۱ و ۸۱۱

Figure 5. FTIR spectra of nanofiber samples: PVA, PVA/Chitosan, PVA/ Sodium Caseinate (703), 622, 721, and 811

نیز می تواند تأییدی بر برهمکنش بین کازئینات سدیم و پلی وینیل الکل باشد. همچنین برهمکنش بین کازئینات سدیم و کیتوzan در نانو الیاف نیز با توجه به طیف نانو الیاف (شکل ۶)، که در حضور یا و کیتوzan-پلی وینیل الکل (شکل ۶)، که در حضور یا عدم حضور کیتوzan یا کازئینات سدیم در محلول الکتروزیسی متفاوت هستند، قابل بررسی می باشد. پهن شدن پیکها در طول موج های ناحیه 1290 cm^{-1} و 1330 cm^{-1} در نانو الیاف ۶۲۲ (دارای بیشترین درصد کازئینات سدیم و کیتوzan) در مقایسه با نانو الیاف ۷۰۳ (نانو الیاف فاقد کیتوzan) می تواند بیانگر برهمکنش کیتوzan و کازئینات سدیم (تشکیل پیوندهای هیدروژنی) باشد. همچنین وجود پیک 940 cm^{-1} در نانو الیاف ۶۲۲ در مقایسه با نانو الیاف

گسترش سطح زیر پیک در نواحی 1000 cm^{-1} - 1100 cm^{-1} در طیف نانو الیاف کیتوzan-پلی وینیل الکل در مقایسه با طیف پلی وینیل الکل می تواند بیانگر برهمکنش بین CH_3 و $\text{CH}_2\text{-O}$ باشد (۳۲). به طور مشابه بررسی طیف کازئینات سدیم و طیف حاصل از نانو الیاف با کد ۷۰۳ (فاقد کیتوzan) نشان دهنده جایه جایی پیک 1239 cm^{-1} طیف کازئینات سدیم به 1247 cm^{-1} در طیف نانو الیاف ۷۰۳ و همچنین ظاهر شدن پیک 1657 cm^{-1} در طیف نانو الیاف ۷۰۳ در مقایسه با طیف پلی وینیل الکل بوده که می تواند بیانگر برهمکنش بین کازئینات سدیم و پلی وینیل الکل باشد. جایه جایی پیکهای 3294 cm^{-1} در طیف کازئینات سدیم و 3357 cm^{-1} در پلی وینیل الکل به 3316 cm^{-1} در نانو الیاف حاوی هر دو پلیمر (۷۰۳)

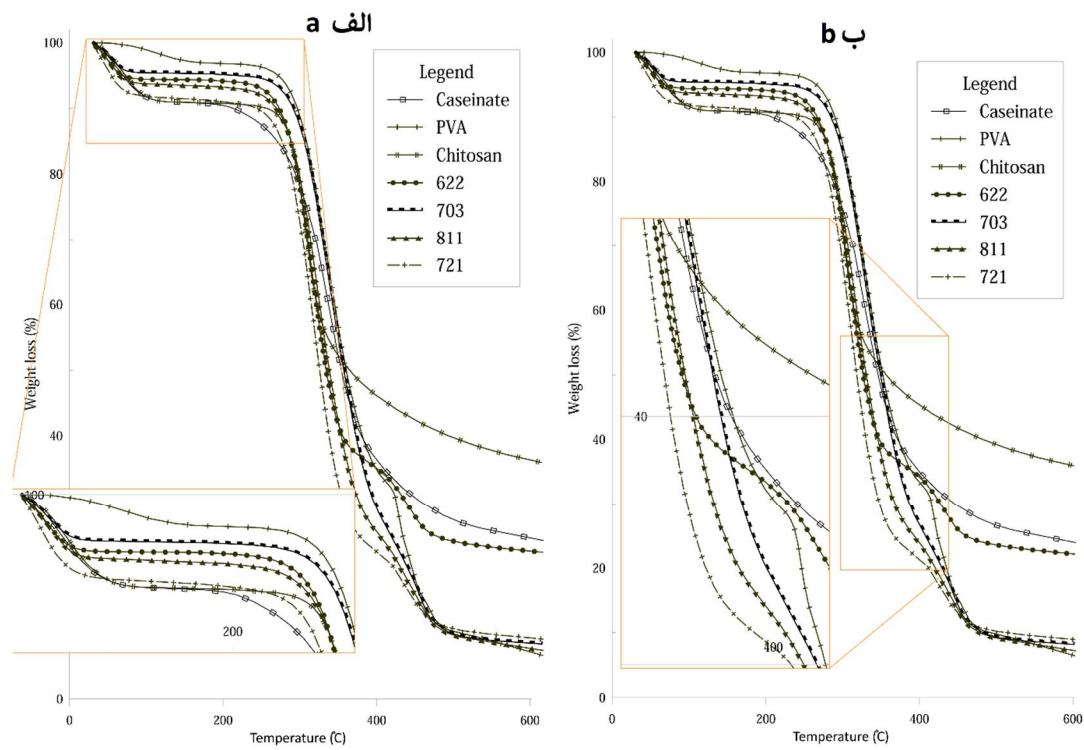
محسن اصغری قاجاری و همکاران

به افت وزن ۴ درصدی منجر می‌گردد. مرحله دوم که مرحله اصلی در افت وزن می‌باشد، مربوط به تجزیه گرمایی پلیمر می‌باشد که به افت ۶۴ درصدی در وزن منجر می‌گردد. با افزایش دما پلیمر شکسته شده و به قطعات کوچکتر تبدیل می‌شود. لازم به ذکر است که مرحله اول در این نمودار به صورت پله‌ای دیده می‌شود که مربوط به ترتیب خروج انواع مولکول‌های آب تبلور می‌باشد. وزن کاهش یافته کلی از محصول در محدوده دمایی $500-600$ درجه سانتی‌گراد، ۹۴ درصد است. در نمونه کیتوزان دو مرحله اصلی کاهش وزن مشاهده می‌شود. اولین افت وزنی در محدوده دمایی $40-220$ درجه سانتی‌گراد رخ می‌دهد که به خاطر تبخیر انواع مولکول‌های آب به دام افتاده در ساختار است. دومین مرحله از کاهش وزن در محدوده $270-330$ درجه سانتی‌گراد رخ می‌دهد و جرم کاهش یافته به 61 درصد افزایش می‌یابد. این مرحله به تجزیه ساختار اصلی کیتوزان مربوط می‌شود. سپس با افزایش دما تا 500 درجه سانتی‌گراد یک مرحله نسبتاً هموار بدون کاهش وزن قابل توجه مشاهده می‌شود. وزن کاهش یافته کلی از کیتوزان در محدوده دمایی $500-600$ درجه سانتی‌گراد حدود ۶۴ درصد است. منحنی ترکیب کازئینات‌سدیم نشان‌دهنده یک کاهش وزن پیوسته تا دمای 220 درجه سانتی‌گراد است که مربوط به از دست دادن مولکول‌های آب در شبکه می‌شود. بالاتر از این دما ترکیب کم شروع به تخریب شدن می‌کند. این کاهش وزن قابل توجه (60 درصد) تا محدوده دمایی 450 درجه سانتی‌گراد ادامه می‌یابد و سپس یک ناحیه خطی مستقیم در محدوده دمایی $450-600$ درجه سانتی‌گراد مشاهده می‌شود که تغییر وزنی چندانی در این محدوده ایجاد نمی‌شود. وزن کاهش یافته کلی از این ترکیب در محدوده دمایی $500-600$ درجه سانتی‌گراد حدود ۷۷ درصد است.

کیتوزان-پلی‌وینیل‌الکل (حذف پیک 940 cm^{-1} پلی‌وینیل‌الکل) نیز می‌تواند نشان‌دهنده برهمکنش بین کیتوزان و کازئینات‌سدیم باشد. در یک نگاه کلی، نتایج فوق تأییدکننده پراکندگی یکنواخت هر سه پلیمر کازئینات‌سدیم، کیتوزان و پلی‌وینیل‌الکل در نانوالیاف می‌باشد.

همان‌طور که در شکل ۶ مشاهده می‌شود، با افزایش غلظت پلی‌وینیل‌الکل در نمونه‌های مورد بررسی، پیک‌های حاصل در نواحی 2900 cm^{-1} به سمت طول موج‌های کمتر حرکت می‌کند که از این حیث با نتایج بیرانجه و همکاران (۲۰۱۸) مبنی بر افزایش غلظت پلی‌وینیل‌الکل در تشکیل پیک به سمت طول موج‌های کمتر مطابقت دارد(۹). تعیین ویژگی‌های حرارتی با استفاده از آنالیز گرما وزن‌سنجی (TGA): به‌طورکلی برهمکنش‌های هیدروژنی بین گروه‌های هیدروکسیل و کربونیل نقش بسیار مهمی در اختلاط اجزا ایفا می‌کنند (۱۱). شکل ۶ نمودارهای آنالیز وزن سنجی حرارتی را نشان می‌دهد. برای تمامی نمونه‌ها، منحنی کاهش جرم به شکل تک مرحله‌ای است که دو دما در آن به عنوان مشخصه این منحنی مشخص شده است. دمای شروع تخریب حرارتی، دمای اولیه‌ای است که در آن تغییر جرم نمونه به اندازه‌ای می‌رسد که ترازوی الکتریکی موجود در دستگاه می‌تواند آن را تشخیص دهد. در حالی که مرحله افت وزن، دمای نهایی است و در آن تغییر جرم اولیه به بیشترین مقدار خود می‌رسد و پس از آن تغییر محسوسی در جرم نمونه به وجود نمی‌آید. به تفاوت بین این دو دما، اصطلاحاً فاصله واکنش گفته می‌شود.

در نمودار گرما وزن‌سنجی مربوط به پلی‌وینیل‌الکل سه مرحله به‌طور واضح قابل تشخیص است. مرحله اول مربوط به از دست دادن مولکول‌های آب تبلور تا دمای 220 درجه سانتی‌گراد می‌باشد که



شکل ۶- گرم وزن سنجی پلیمرها و الیاف الکترورسی: (الف) آغاز تخریب حرارتی، (ب) ادامه روند تخریب حرارتی همراه کاهش سرعت تخریب تا انتهای آزمایش (دمای ۶۰۰ درجه سانتی گراد)

Figure 6. TGA of polymers and spun fiber: (a) the beginning of thermal degradation, (b) the continuation of the thermal degradation process associated with a decrease in degradation rate up to the end of the process (600 °C).

با توجه به نتایج آنالیز وزن سنجی حرارتی کیتوzan، کازئینات سدیم و پلی وینیل الکل، استفاده از نسبت های مختلف این مواد در نمونه های نانو الیاف اثرات خود را به طور واضح نشان دادند. دمای شروع تخریب در نمونه دارای بیشترین مقدار کیتوzan (۶۲۲) کمتر بوده (بین ۳۱۰-۳۱۵ درجه سانتی گراد)؛ در حالی که نمونه بدون کیتوzan (۷۰۳) بیشترین دمای آغاز تخریب (۳۲۵ درجه سانتی گراد) را داشته است (شکل ۶-الف). وزن کاهش یافته کلی در نمونه ۶۲۲ در محدوده دمایی ۵۰۰-۶۰۰ درجه سانتی گراد حدود ۷۸ درصد و در نمونه ۷۰۳ در همین محدوده دمایی ۹۲ درصد می رسد. همان طور که نتایج نشان می دهد، حضور کیتوzan منجر به بهبود پایداری حرارتی شده و رخدادهای حرارتی در محدود دمایی

دمای شروع تخریب حرارتی نقطه بحرانی در ارزیابی پایداری پلیمرها است، زیرا نشان دهنده حداکثر دمایی است که می توان بدون آسیب حرارتی به ماده آن را مورد فرآوری قرار داد؛ اما مقاومت کلی به تخریب متفاوت از دمای شروع تخریب است (۱۲). کیتوzan، دمای آغاز تخریب (۳۱۰ درجه سانتی گراد) کمتری نسبت به پلی وینیل الکل (۳۲۵ درجه سانتی گراد) و کازئینات سدیم (۳۶۰ درجه سانتی گراد) از خود نشان داد، این به آن معنی است که آغاز تخریب با سرعت بیشتری رخ داده است (شکل ۶-الف)، اما با توجه به وزن کلی کاهش یافته کیتوzan (۶۴ درصد) در برابر پلی وینیل الکل (۹۲ درصد) و کازئینات سدیم (۷۷ درصد) مقاومت به تخریب بیشتری از خود نشان داد (شکل ۶-ب).

محسن اصغری قاجاری و همکاران

شرایط بهینه دستگاهی به منظور الکتروریسی موفق و تولید نانو الیاف به صورت شدت جریان ۰/۵ میلی لیتر بر ساعت، ولتاژ ۱۶ کیلوولت و فاصله ۱۲ سانتی متر تعیین شد. محلول های استوک با غلظت های مختلف مورد استفاده قرار گرفتند که در این میان ۶۲۲ (شامل ۶۰ درصد پلی وینیل الكل، ۲۰ درصد کیتوزان و ۲۰ درصد سدیم کازئینات) بیشترین قطر (۱۹۲ نانومتر) و نسبت ۷۲۱ (شامل ۷۰ درصد پلی وینیل الكل، ۲۰ درصد کیتوزان و ۱۰ درصد سدیم کازئینات) کمترین قطر (۱۲۱ نانومتر) را نشان دادند. کاهش شدت پیک در الگوی XRD نانوالیاف را می توان به کاهش شدید ساختار نیمه بلوری پلی وینیل الكل در ترکیب با دو پلیمر کیتوزان و کازئینات سدیم، به واسطه سازگاری فاز بی نظم و بلوری نسبت داد. همچنین پراکنده شدن کامل سه پلیمر پلی وینیل الكل، کازئینات سدیم و کیتوزان با نتایج بدست آمده از طیف های FTIR تأیید شد. بررسی نتایج حاصل از TGA نیز نشان داد، حضور کیتوزان منجر به بهبود پایداری حرارتی شده و رخدادهای حرارتی در محدوده دمایی گسترده تری مشاهده شدند.

منابع

1. Abou_Taleb, M., 2009. Thermal and spectroscopic studies of poly (N-vinyl pyrrolidone)/poly (vinyl alcohol) blend films. *J. Appl. Polym. Sci.* 114: 2.1202-1207.
2. Abraham, A., Solomon, P., and Rejini, V. 2016. Preparation of chitosan-polyvinyl alcohol blends and studies on thermal and mechanical properties. *Procedia Technology*. 24: 741-748.
3. Agnihotri, S.A., Mallikarjuna, N.N., and Aminabhavi, T.M. 2004. Recent advances on chitosan-based micro-and nanoparticles in drug delivery. *J Control Release*. 100: 1.5-28.
4. Alehosseini, A., Gómez-Mascaraque, L.G., Martínez-Sanz, M., and López-Rubio, A. 2019. Electrospun curcumin-

گسترده تری مشاهده شدند. این پایداری به تشکیل پیوند هیدروژنی بین اجزا نسبت داده می شود که ناشی از حضور گروه های هیدروکسیلی و آمینی در نمونه نانو کامپوزیتی ۶۲۲ است و تأیید کننده نتایج بدست آمده از سایر آزمون ها می باشد. وزن کلی از دست رفته برای نانوالیاف ۷۲۱ و ۸۱۱ نیز به ترتیب ۹۱ و ۹۲ درصد می باشد (شکل ۶). فرناندلز و همکاران (۲۰۱۰) نیز علت افزایش پایداری حرارتی نانو کامپوزیت کیتوزان / نانوالیاف سلولز را در محدوده ۱۰-۴۰ درجه سانتی گراد به افزایش سطح وزنی حاصل از افزودن نانوالیاف سلولز نسبت دادند (۱۳). قطر نانوالیاف بر میزان مقاومت حرارتی آنها تأثیرگذار است (۱۵). در این پژوهش نمونه ۶۲۲ با بیشترین قطر، مقاومت حرارتی بیشتری نسبت به نمونه های ۷۲۱ (کمترین قطر) و ۸۱۱ (قطر متوسط) از خود نشان داد. رضایی و همکاران (۲۰۱۴) نیز ارتباط مستقیم افزایش قطر با افزایش مقاومت حرارتی را گزارش کردند (۲۶).

نتیجه گیری کلی

loaded protein nanofiber mats as active/bioactive coatings for food packaging applications. *Food Hydrocolloids*. 87: 758-771.

5. Arvanitoyannis, I., Kolokuris, I., Nakayama, A., Yamamoto, N., and Aiba, S.I. 1997. Physico-chemical studies of chitosan-poly (vinyl alcohol) blends plasticized with sorbitol and sucrose. *Carbohydr Polym*. 34: 1-2.9-19.
6. Bazhban, M., Nouri, M., and Mokhtari, J. 2013. Electrospinning of cyclodextrin functionalized chitosan/PVA nanofibers as a drug delivery system. *Chinese J Polym Sci*. 31: 10.1343-1351.
7. Benjakul, S., Oungbho, K., Visessanguan, W., Thiansilakul, Y., and Roytrakul, S. 2009. Characteristics of gelatin from the skins of bigeye snapper, *Priacanthus*

- tayenus and Priacanthus macracanthus. *Food Chem.* 116: 2.445-451.
8. Bhajantri, R., Ravindrachary, V., Harisha, A., Crasta, V., Nayak, S.P., and Poojary, B. 2006. Microstructural studies on BaCl₂ doped poly (vinyl alcohol). *Polymer.* 47: 10.3591-3598.
9. Biranje, S., Madiwale, P., and Adivarekar, R. 2018. Porous electrospun Casein/PVA nanofibrous mat for its potential application as wound dressing material. *J Porous Mat.* p. 1-12.
10. Bondi, M.L., Emma, M.R., Botto, C., Augello, G., Azzolina, A., Di Gaudio, F., Craparo, E.F., Cavallaro, G., Bachvarov, D., and Cervello, M. 2017. Biocompatible lipid nanoparticles as carriers to improve curcumin efficacy in ovarian cancer treatment. *J Agric Food Chem.* 65: 7.1342-1352.
11. Dong, H., Strawhecker, K.E., Snyder, J.F., Orlicki, J.A., Reiner, R.S., and Rudie, A.W. 2012. Cellulose nanocrystals as a reinforcing material for electrospun poly (methyl methacrylate) fibers: Formation, properties and nanomechanical characterization. *Carbohydr Polym.* 87: 4.2488-2495.
12. Ferfara-Harrar, H., and Dairi, N. 2013. Elaboration of cellulose acetate nanobiocomposites using acidified gelatin-montmorillonite as nanofiller: Morphology, properties, and biodegradation studies. *Polym Composite.* 34: 9.1515-1524.
13. Fernandes, S.C., Freire, C.S., Silvestre, A.J., Neto, C.P., Gandini, A., Berglund, L.A., and Salmén, L. 2010. Transparent chitosan films reinforced with a high content of nanofibrillated cellulose. *Carbohydr Polym.* 81: 2.394-401.
14. Ganesh, M., Aziz, A.S., Ubaidulla, U., Hemalatha, P., Saravanakumar, A., Ravikumar, R., Peng, M.M., Choi, E.Y., and Jang, H.T. 2016. Sulfanilamide and silver nanoparticles-loaded polyvinyl alcohol-chitosan composite electrospun nanofibers: synthesis and evaluation on synergism in wound healing. *J Ind Eng Chem.* 39: 127-135.
15. Gibson, P.W., Lee, C., Ko, F., and Reneker, D. 2007. Application of nanofiber technology to nonwoven thermal insulation. *J Eng Fiber Fabr.* 2: 2. 155892500700200204.
16. Hadipour-Goudarzi, E., Montazer, M., Latifi, M., and Aghaji, A.A.G. 2014. Electrospinning of chitosan/sericin/PVA nanofibers incorporated with in situ synthesis of nano silver. *Carbohydr Polym.* 113: 231-239.
17. Jafarizadeh-Malmiri, H., Sayyar, Z., Anarjan, N., and Berenjian, A. 2019. Nano-additives for Food Industries. P 41-68, In: H. Jafarizadeh-Malmiri., Z. Sayyar., N. Anarjan and A. Berenjian (eds), *Nanobiotechnology in Food: Concepts, Applications and Perspectives*, Springer, London.
18. Kadir, M., Aspanut, Z., Majid, S., and Arof, A.K. 2011. FTIR studies of plasticized poly (vinyl alcohol)-chitosan blend doped with NH₄NO₃ polymer electrolyte membrane. *Spectrochim Acta A.* 78: 3.1068-1074.
19. Katouzian, I., and Jafari, S.M. 2016. Nano-encapsulation as a promising approach for targeted delivery and controlled release of vitamins. *Trends Food Sci Tech.* 53: 34-48.
20. Koo, S.Y., Mok, I.K., Pan, C.H., and Kim, S.M. 2016. Preparation of fucoxanthin-loaded nanoparticles composed of casein and chitosan with improved fucoxanthin bioavailability. *J Agric Food Chem.* 64: 49.9428-9435.
21. Luo, Y., Teng, Z., Wang, T.T., and Wang, Q. 2013. Cellular uptake and transport of zein nanoparticles: effects of sodium caseinate. *J Agric Food Chem.* 61: 31.7621-7629.
22. Moradkhanehjhad, L., Abdouss, M., Nikfarjam, N., Mazinani, S., and Heydari, V. 2018. Electrospinning of zein/propolis nanofibers; antimicrobial properties and morphology investigation. *J Mater Sci Mater Med.* 29: 11.p165.
23. Naghibzadeh, M., Firooz, S., Nodoushan, F.S., Adabi, M., Khoradmehr, A., Fesahat, F., Esnaashari, S.S., Khosravani, M., Tavakol, S., and Pazoki-Toroudi, H. 2018. Application of electrospun gelatin nanofibers in tissue engineering.

- Biointerface Research in Applied Chemistry. 8: 1.3048-3052.
24. Neo, Y.P., Ray, S., Jin, J., Gizdavic-Nikolaidis, M., Nieuwoudt, M.K., Liu, D., and Quek, S.Y. 2013. Encapsulation of food grade antioxidant in natural biopolymer by electrospinning technique: A physicochemical study based on zein-gallic acid system. *Food Chem.* 136: 2.1013-1021.
25. Pan, K., Zhong, Q., and Baek, S.J. 2013. Enhanced dispersibility and bioactivity of curcumin by encapsulation in casein nanocapsules. *J Agric Food Chem.* 61: 25.6036-6043.
26. Rezaei, B., Askari, M., Shoushtari, A.M., and Malek, R.A.M. 2014. The effect of diameter on the thermal properties of the modeled shape-stabilized phase change nanofibers (PCNs). *J Therm Anal Calorim.* 118: 3.1619-1629.
27. Sun, B., Long, Y., Zhang, H., Li, M., Duvail, J., Jiang, X., and Yin, H. 2014. Advances in three-dimensional nanofibrous macrostructures via electrospinning. *Prog Polym Sci.* 39: 5.862-890.
28. Tian, J., Deng, H., Huang, M., Liu, R., Yi, Y., and Dong, X. 2019. Electrospun Nanofibers for Food and Food Packaging Technology. P 455-516, In: H. Dang., J. Yu and X. Wang (eds), *Electrospinning: Nanofabrication and Applications*, Elsevier.
29. Tripathi, S., Mehrotra, G., and Dutta, P. 2009. Physicochemical and bioactivity of cross-linked chitosan-PVA film for food packaging applications. *Int J Biol Macromol.* 45: 4.372-376.
30. Vega-Lugo, A.C., and Lim, L.T. 2008. Electrospinning of soy protein isolate nanofibers. *J Biobased Mater Bioe.* 2: 3.223-230.
31. Xie, J., and Hsieh, Y.L. 2003. Ultra-high surface fibrous membranes from electrospinning of natural proteins: casein and lipase enzyme. *J Mater Sci.* 38: 10.2125-2133.
32. Yousefi Abdolmaleki, A., Zilouei, H., Nouri Khorasani, S., and Abdolmaleki, A. 2017. Optimization and characterization of electrospun chitosan/poly (vinyl alcohol) nanofibers as a phenol adsorbent via response surface methodology. *Polym Advan Tech.* 28: 12.1872-1878.
33. Zhang, Y., Zhang, C., Feng, Y., Zhang, T., Chen, Q., Chi, Q., Liu, L., Li, G., Cui, Y., and Wang, X. 2019. Excellent energy storage performance and thermal property of polymer-based composite induced by multifunctional one-dimensional nanofibers oriented in-plane direction. *Nano energy.* 56: 138-150.
34. Zhong, J., Mohan, S.D., Bell, A., Terry, A., Mitchell, G.R., and Davis, F.J. 2018. Electrospinning of food-grade nanofibres from whey protein. *Int j biol macromol.* 113: 764-773.
35. Zhuang, P.Y., Li, Y.L., Fan, L., Lin, J., and Hu, Q.L. 2012. Modification of chitosan membrane with poly (vinyl alcohol) and biocompatibility evaluation. *Int j biol macromol.* 50: 3.658-663.



Fabrication of polyvinyl alcohol/chitosan /sodium caseinate nanofibers using electrospinning

**Mohsen Asghari Ghajari, Yahya Maghsoudlou*, Seid Mahdi Jafari,
Mohammad Ghorbani**

Faculty of Food Science, Gorgan University of Agricultural Sciences and
Natural Resources, Iran

Received: 2019/08/24; Accepted: 2019/10/13

Abstract

Background and objectives: Electrospinning is used to produce multi-compound nanofibers with enhanced physicochemical properties. As a promising technology, it is considered the most potent method for industrial development because of its humble mechanism and several applicable polymers. The present study investigated electrospinning of three polymers including polyvinyl alcohol, chitosan, and sodium caseinate to bring enhanced thermal resistance nanofibers.

Materials and methods: First, the effect of operating factors including needle to collector distance, polymer concentration, and high-voltage as critical conditions to produce nanofiber were evaluated by performing various preliminary experiments. Then, based on the D-Optimal mixture design (Design of experiments (DOE), Ver 10), electrospinning was carried out at a distance of 12 cm, voltage of 16 kV, and a flow rate of 0.5 ml/h with different ratios of three polymeric solutions (polyvinyl alcohol, chitosan, and sodium caseinate). The morphology and diameter of nanofibers were investigated using scanning electron microscopy images. According to the results, there samples were selected based on the differences in diameter size (low, medium, and high). Therefore, the physicochemical properties of these samples along with chitosan-free sample were investigated using X-ray diffraction (to determine crystallographic structure), Fourier transforms infrared spectroscopy (to observe chemical changes), and thermogravimetric analysis (to determine the nanofiber's thermal stability).

Results: Nanofibers of polyvinyl alcohol / chitosan / sodium caseinate were successfully electrospun with mean diameters in the range from 121 to 192 nm. The nanofibers code no. 622 (i.e. 60% polyvinyl alcohol, 20% chitosan and 20% sodium caseinate), code no.811 (i.e. 80% polyvinyl alcohol, 10% chitosan and 10% sodium caseinate), and code no.721 (i.e. 70% polyvinyl alcohol, 20% chitosan and 10% sodium caseinate) exhibited the highest to the lowest size, respectively. The observed decrease of X-ray diffraction pattern peak intensity in nanofibers was attributed to the sharp decrease in the semi-crystalline structure of polyvinyl alcohol in combination with chitosan and sodium caseinate polymers as affected by the formation of hydrogen bonds and crystalline-amorphous phase compatibility. The Fourier transform infrared spectroscopy confirmed that all three polymers were fully dispersed in the nanofibers. The thermogravimetric analysis results also showed that despite the higher initial decomposition temperature of chitosan-free sample (Code no.703: i.e. 70% polyvinyl alcohol +30% sodium caseinate), this polymer may improve thermal stability over a wider temperature range.

*Corresponding author: y.maghsoudlou@gau.ac.ir

محسن اصغری قاجاری و همکاران

Conclusion: Owing to the successful electrospinning and the appropriate physicochemical properties of the nanofibers as with proper thermal resistance, it can be propounded to employ chitosan, polyvinyl alcohol, and especially sodium caseinate electrospun nanofibers for implementing in severe thermal circumstances and nanoencapsulation of bioactive compounds (like the ones with hydrophobic nature).

Keywords: Electrospinning, Polyvinyl Alcohol, Chitosan, Sodium Caseinate, Physicochemical Properties.

